Università degli Studi di Genova



Corso di Laurea in Ingegneria Meccanica - Energia e Aeronautica Dipartimento di Ingegneria Civile, Chimica e Ambientale

Riduzione della resistenza fluidodinamica mediante riblets frattali

Mattia Gribaudo

Relatore:

Correlatore:

Prof. Alessandro Bottaro

Dott. Edoardo Alinovi

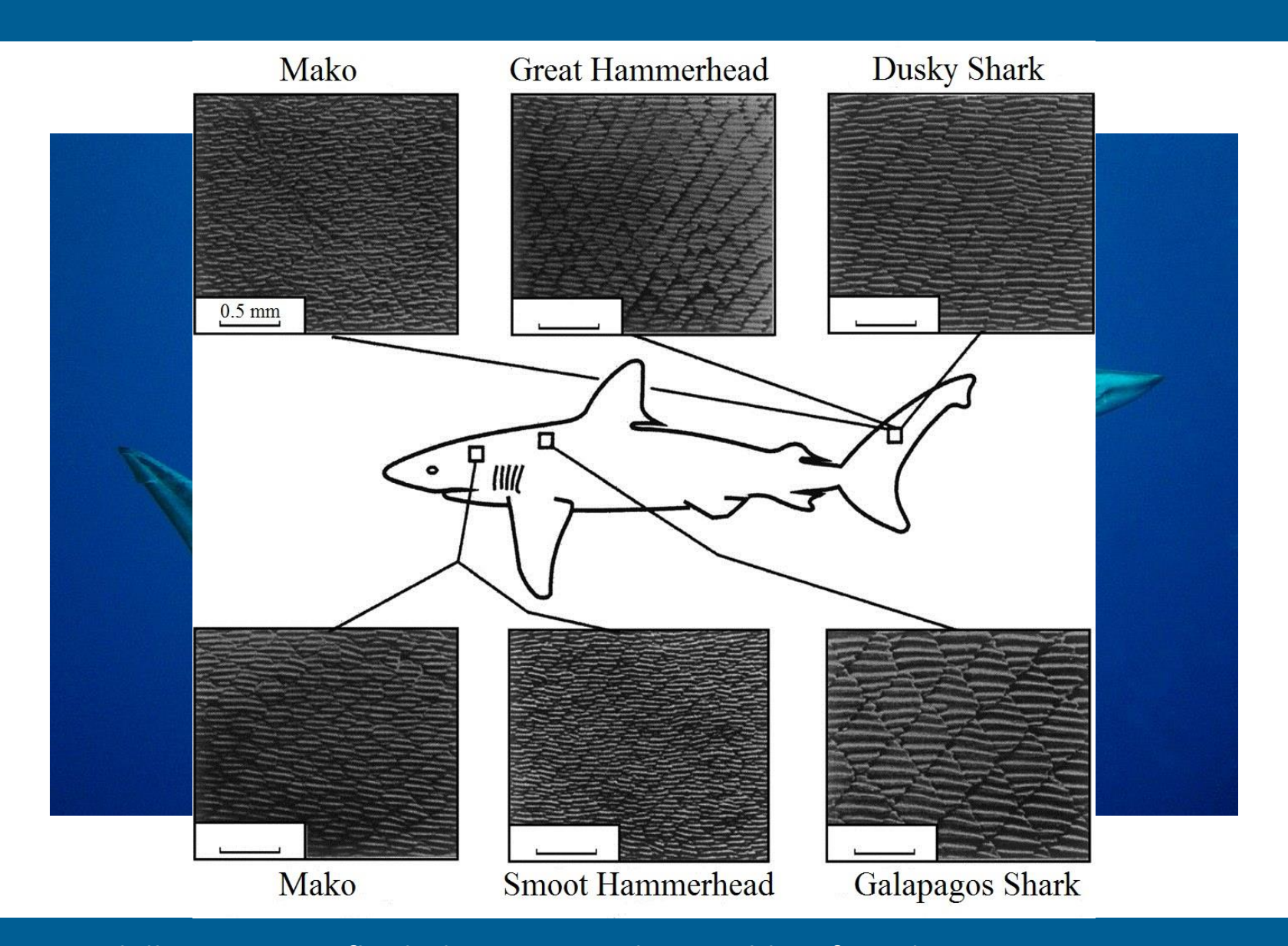
INTRODUZIONE – Riduzione della resistenza fluidodinamica



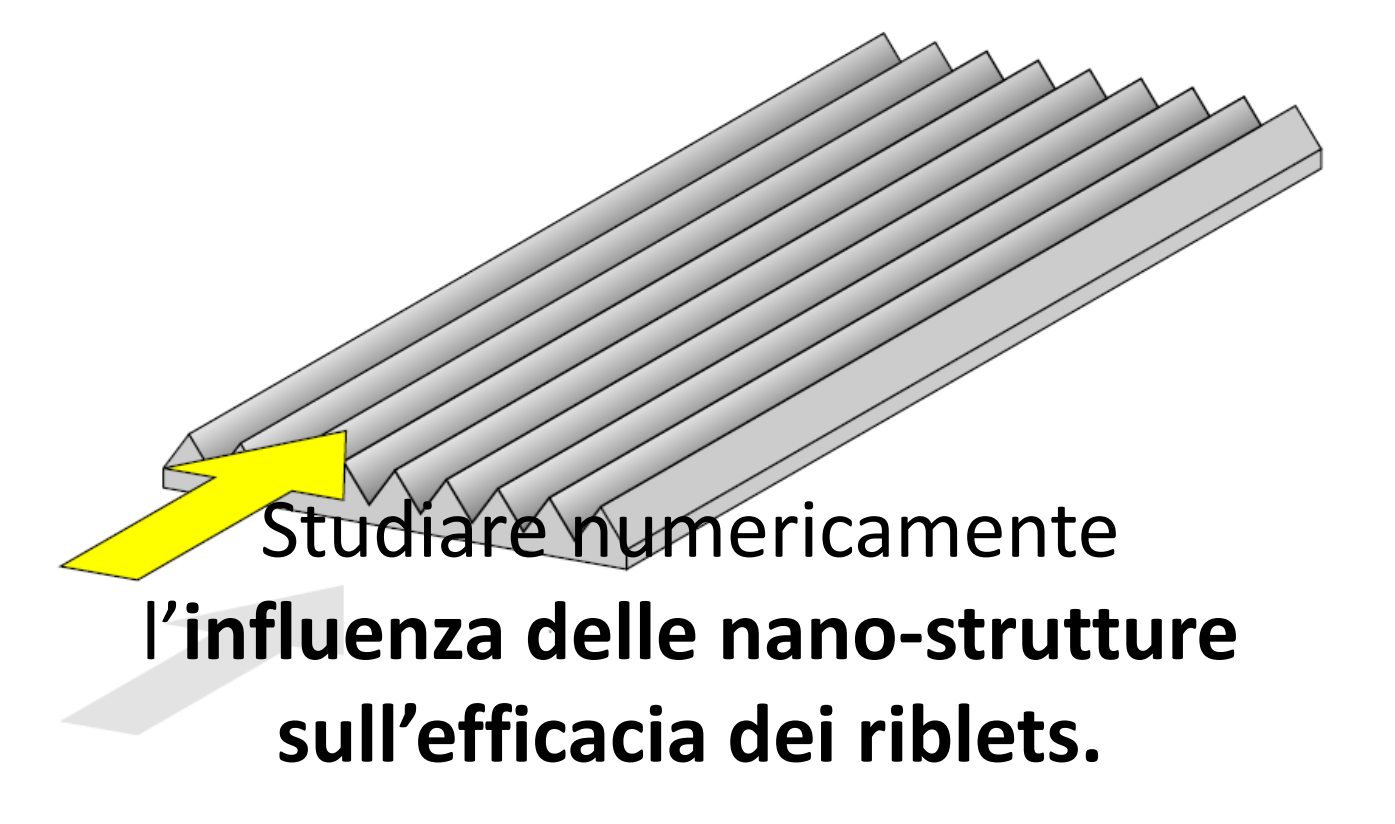




INTRODUZIONE – Riduzione della resistenza fluidodinamica



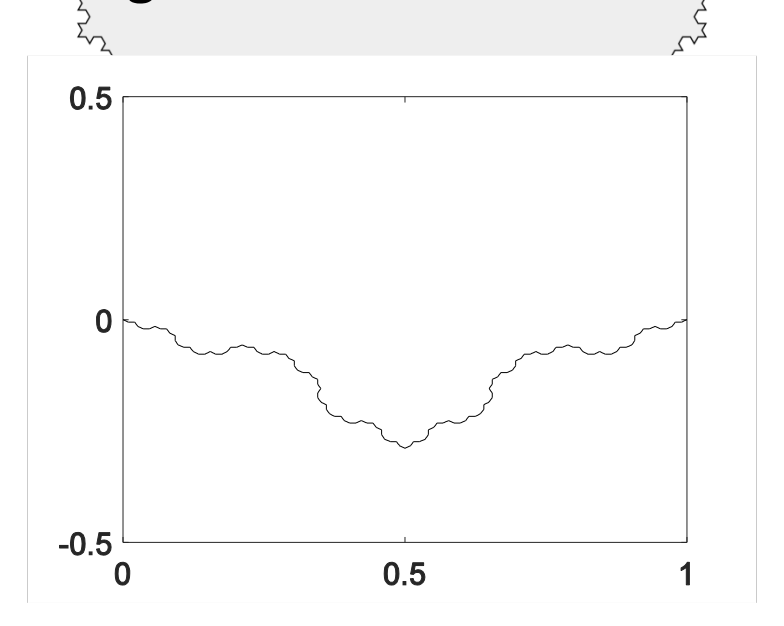
INTRODUZIONE – Le Riblets



INTRODUZIONE – Riblets frattali

Frattale figura dotata di autosimilarità interna

- 1. Prendere up semplice riblet
- 2. Dividere parti
- 3. Sostituire il segmento centrale con un riblet scalato



INTRODUZIONE – Approccio al problema

Calcolo numerico del drag su riblets semplici e riblets frattali

Difficoltà con approcci standard:

- Mesh estremamente fine
- Tempi di simulazione lunghi

Divisione del problema in due parti



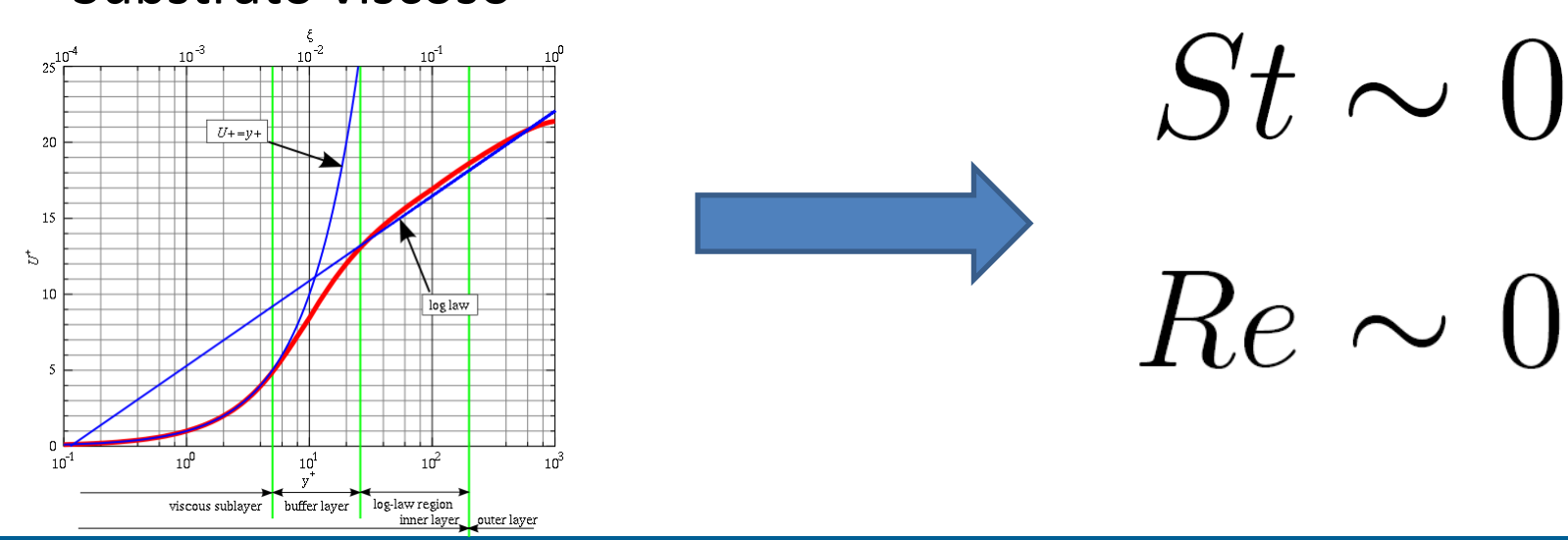
Problema Microscopico
Flusso in prossimità della parte

Problema MacroscopicoFlusso lontano dalla parete

Ipotesi sul fluido: Newtoniano incomprimi storermo

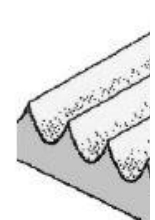
St
$$\hat{\partial}_{\hat{t}}$$
 + $\hat{\nabla}\hat{P} = \hat{\nabla}^2\hat{\mathbf{u}}$. $\frac{1}{Re}\hat{\nabla}^2\hat{\mathbf{u}}$.

Substrato viscoso



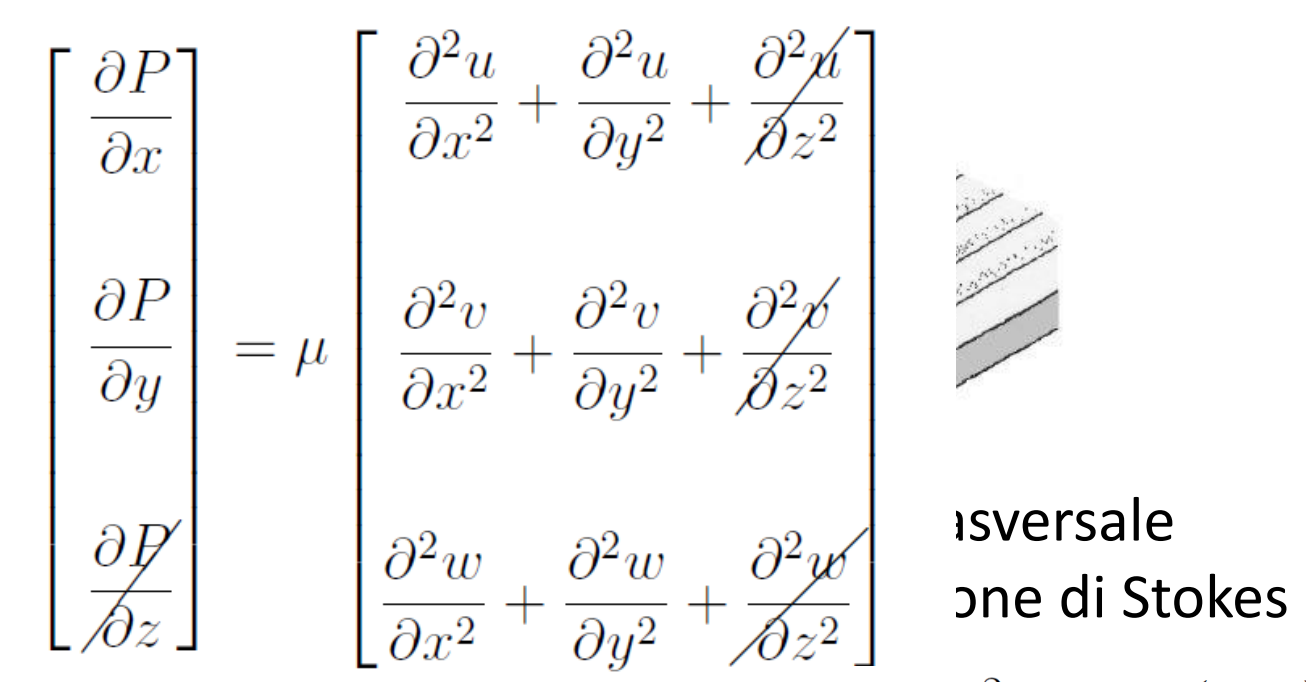
Ipotesi sulla geometria:

Invarianza nella direzione del flusso (z)



Longitudin equazione di L

$$\nabla^2 w = 0$$





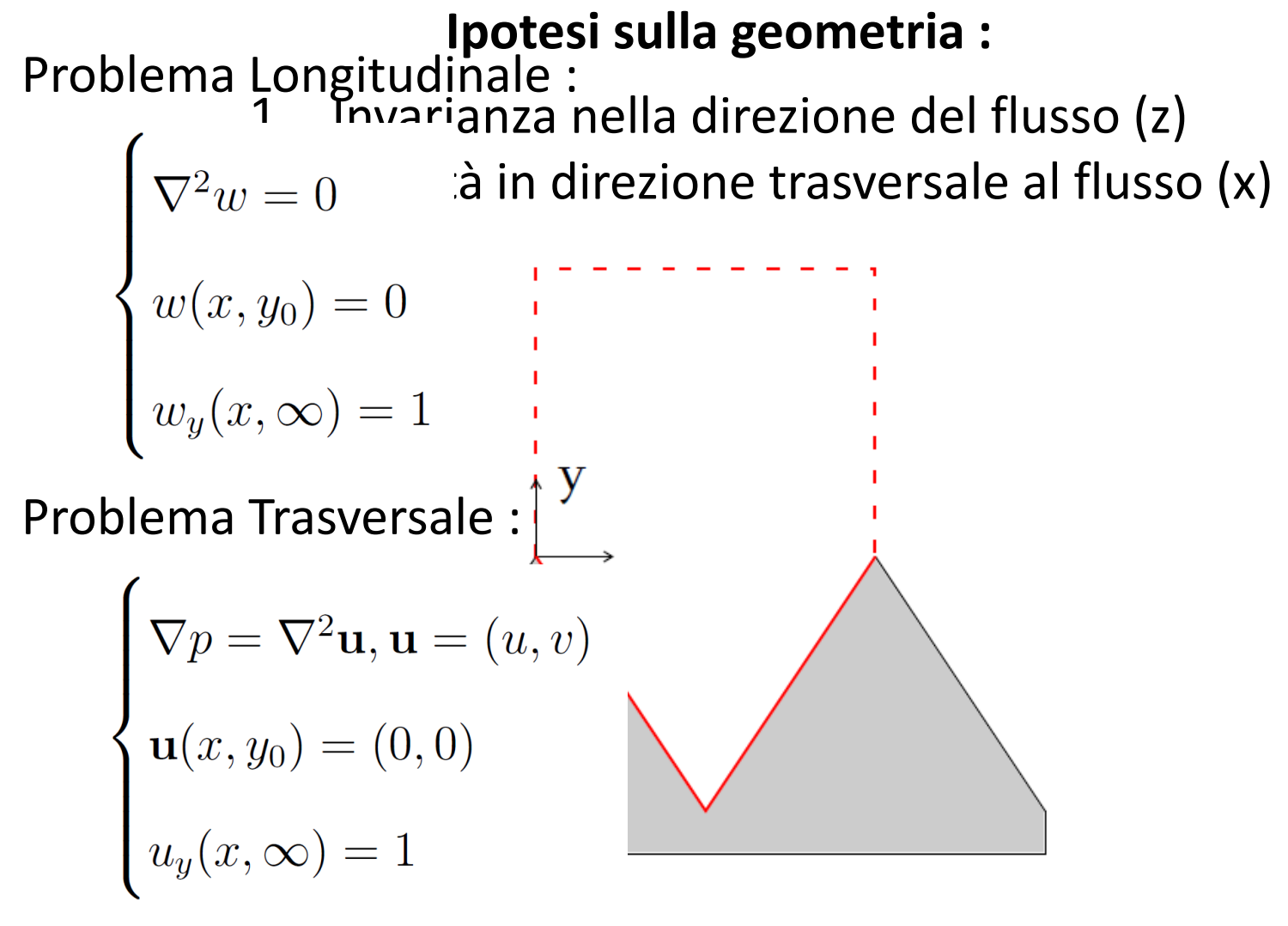
$$\nabla p = \nabla^2 \mathbf{u}, \mathbf{u} = (u, v)$$

Ipotesi sulla geometria:

$$w(x, y_0) = 0$$

$$w_y(x,\infty) = 1$$

$$\begin{cases} \nabla p = \nabla^2 \mathbf{u}, \mathbf{u} = (u, v) \\ \mathbf{u}(x, y_0) = (0, 0) \\ u_y(x, \infty) = 1 \end{cases}$$



Boundary Integral Method

Boundary Integral equation per il problema Longitudinale

$$w(\mathbf{x_0}) = \int_C w(\mathbf{x}) \mathbf{n} \cdot \nabla G(\mathbf{x}, \mathbf{x_0}) dl - \int_C G(\mathbf{x}, \mathbf{x_0}) \mathbf{n} \cdot \nabla w(\mathbf{x}) dl,$$

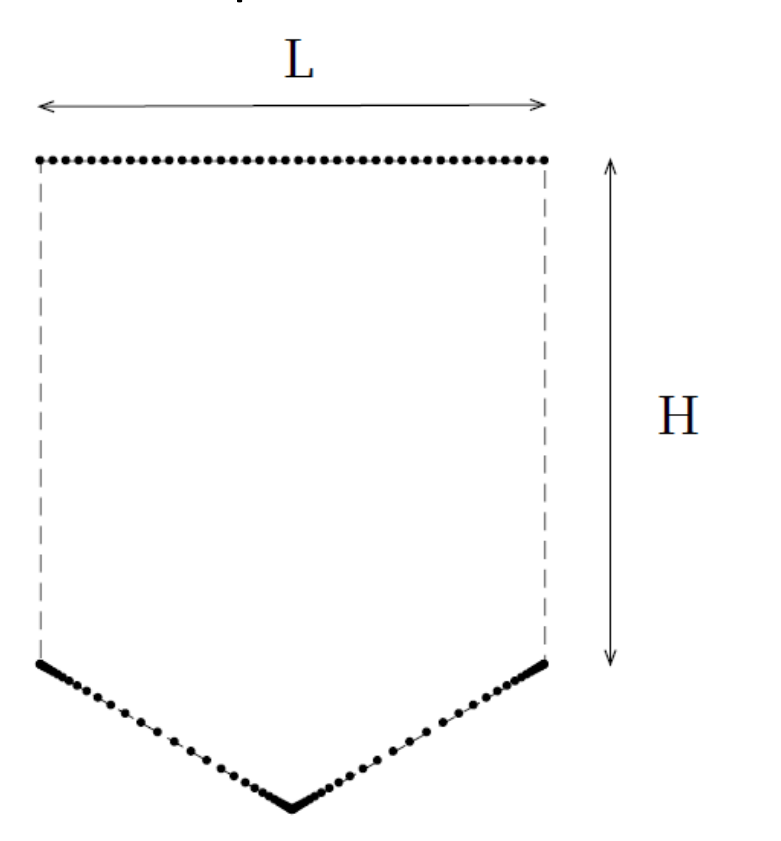
Boundary Integral Equation per il poblema Trasversale

$$u_i(\mathbf{x_0}) = \frac{1}{4\pi} \int_C u_i(\mathbf{x}) T_{ijk}(\mathbf{x}, \mathbf{x_0}) n_j dl - \frac{1}{4\pi\mu} \int_C G_{ik}(\mathbf{x}, \mathbf{x_0}) \sigma_{ij}(\mathbf{x}) n_j dl.$$

PROBLEMA MICROSCOPICO – Metodo numerico

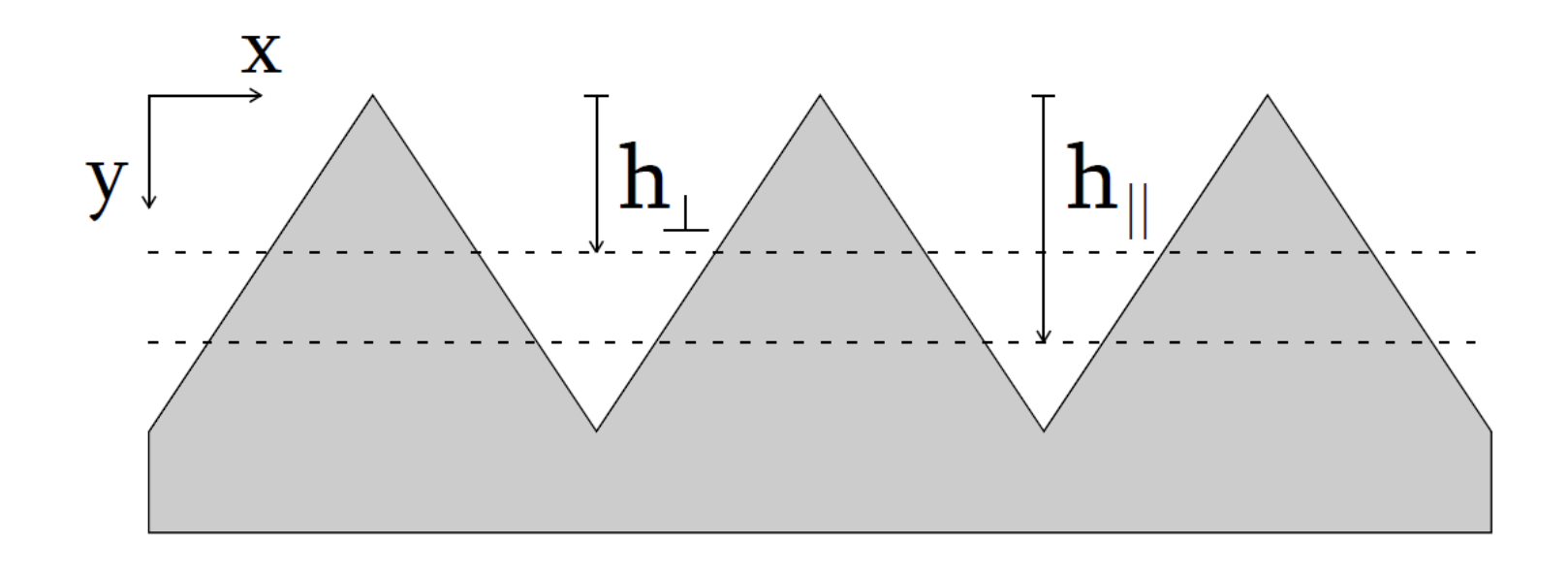
Boundary Element Method

- 1. Discretizzazione del dominio
- 2. Interpolazione della funzioni sui punti di discretizzazione



- Funzione di Green periodica
- Correzione dell'errore dovuto alla presenza di spigoli

PROBLEMA MICROSCOPICO – Altezze di protrusione

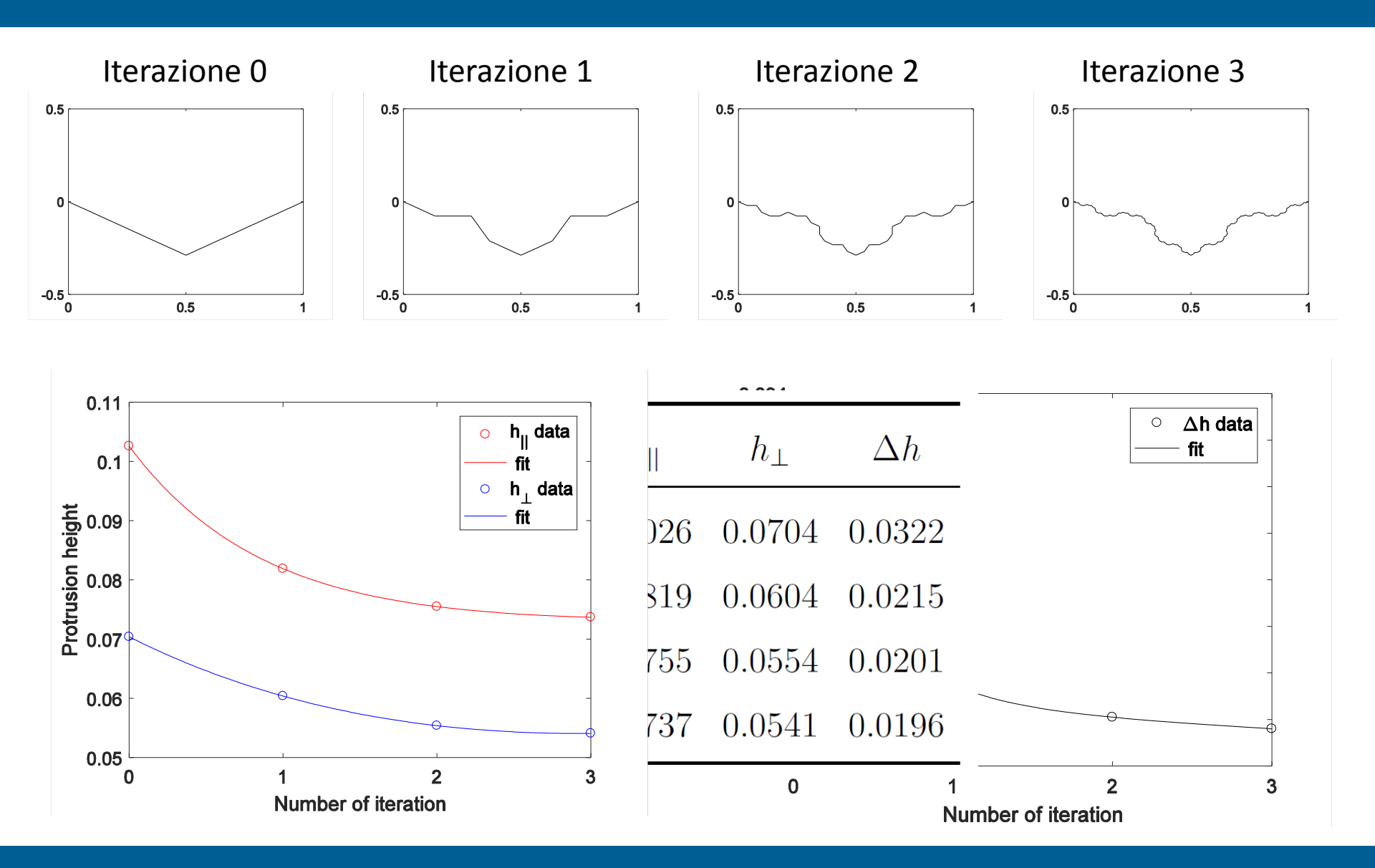


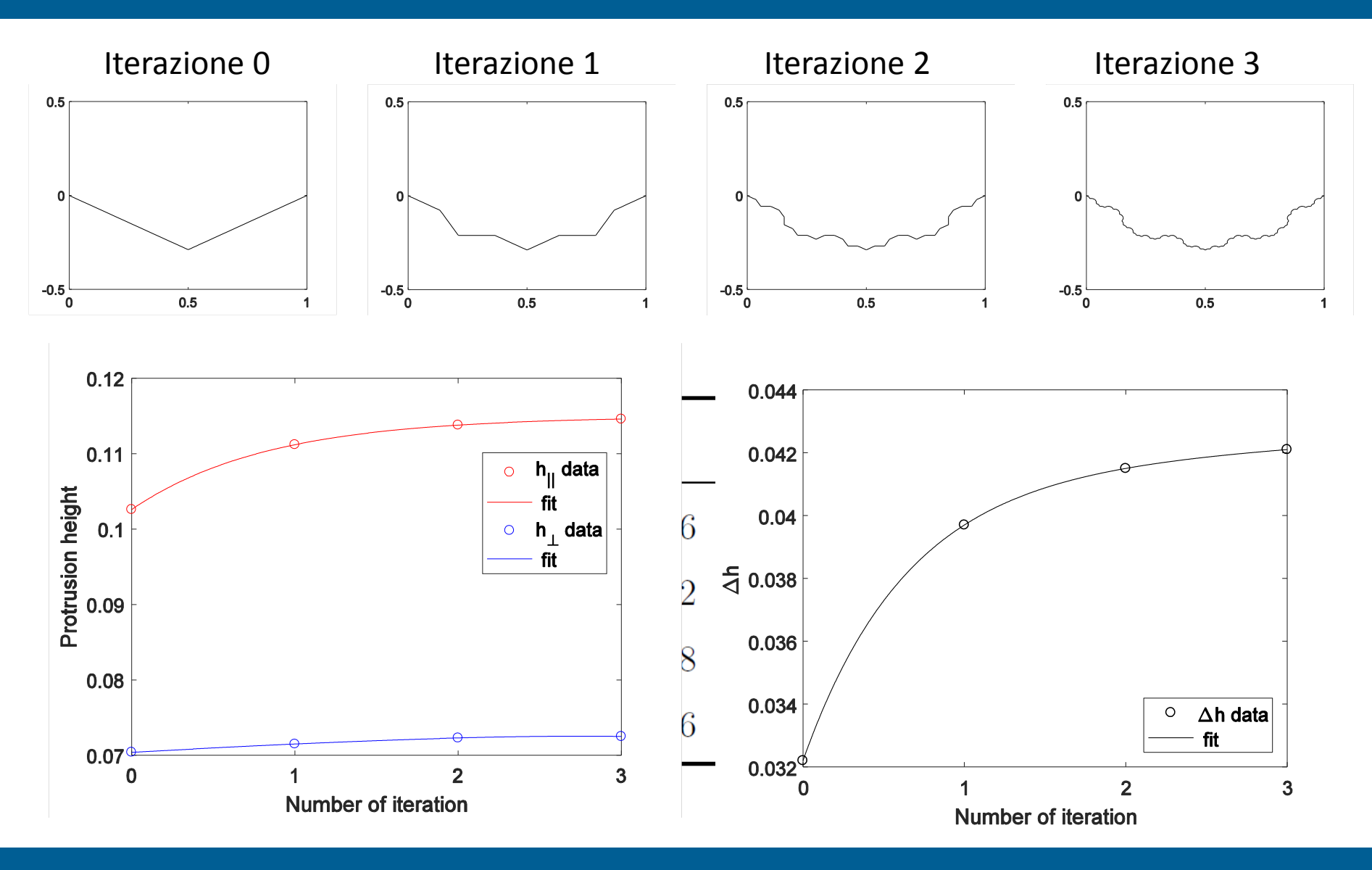
$$\Delta h = h_{||} - h_{\perp}.$$

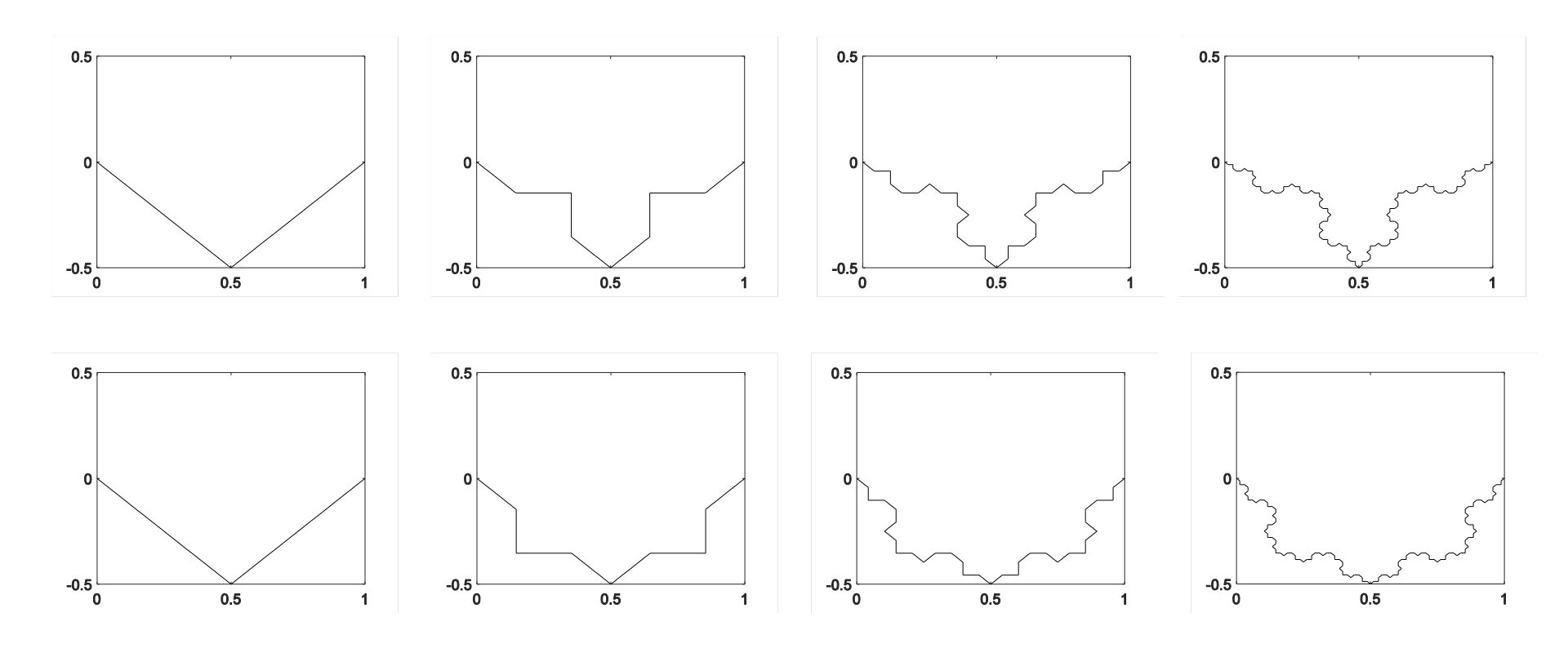
PROBLEMA MICROSCOPICO – Altezze di protrusione

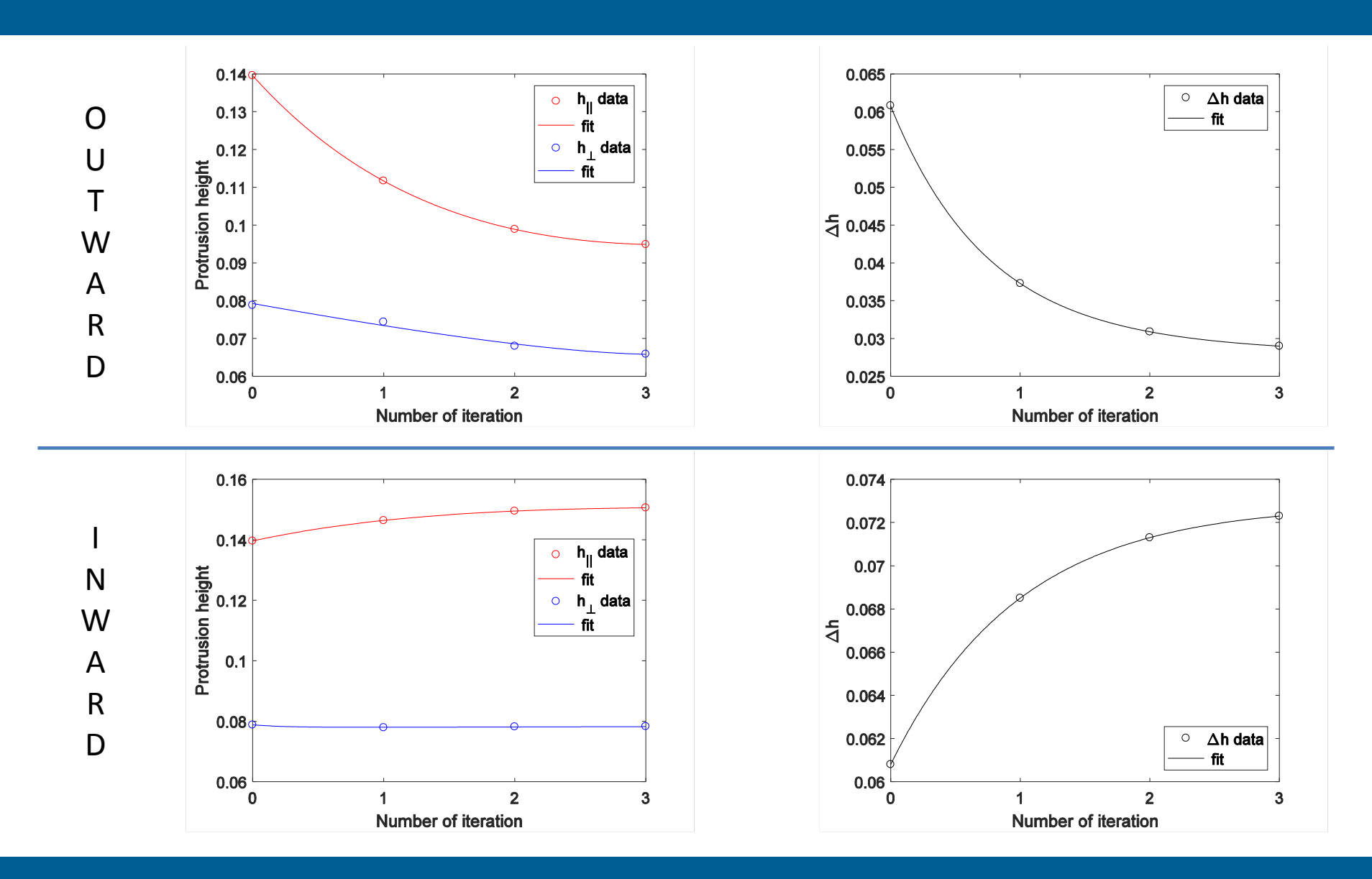
$$h_{\parallel} = \frac{\frac{w_{\text{top}}}{\partial w/\partial y\Big|_{\text{top}}} - H}{L}$$

$$h_{\perp} = \frac{\frac{v_{\text{top}}}{\partial v/\partial y\Big|_{\text{top}}} - H}{L}$$









PROBLEMA MACROSCOPICO – Introduzione

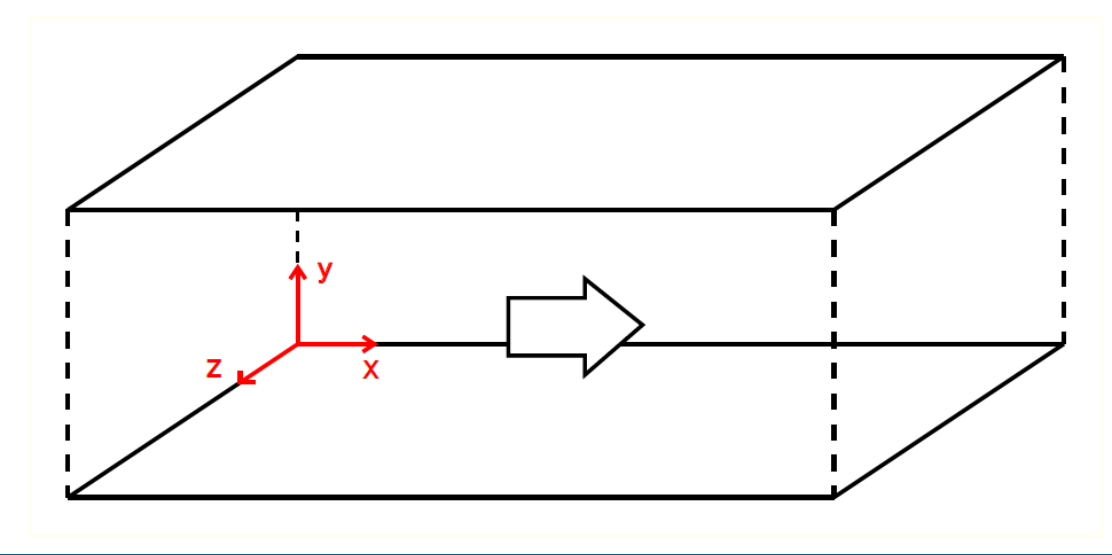
Altezze di protrusione



Drag sulle superfici scanalate

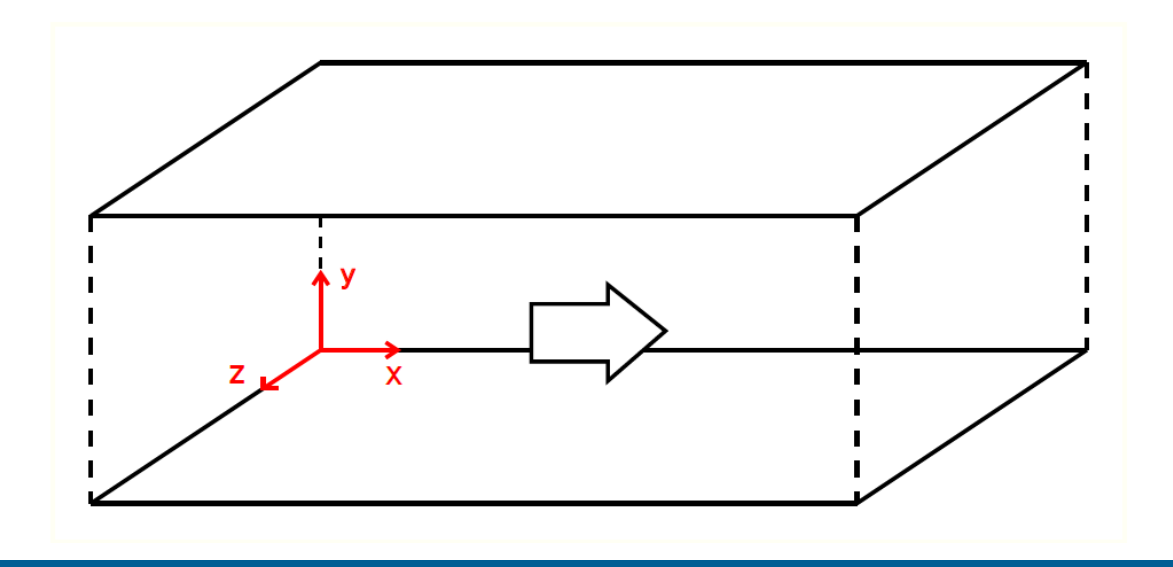
DNS di un canale rettangolare

- Fortran 77
- Volumi Finiti
- Fractional Step

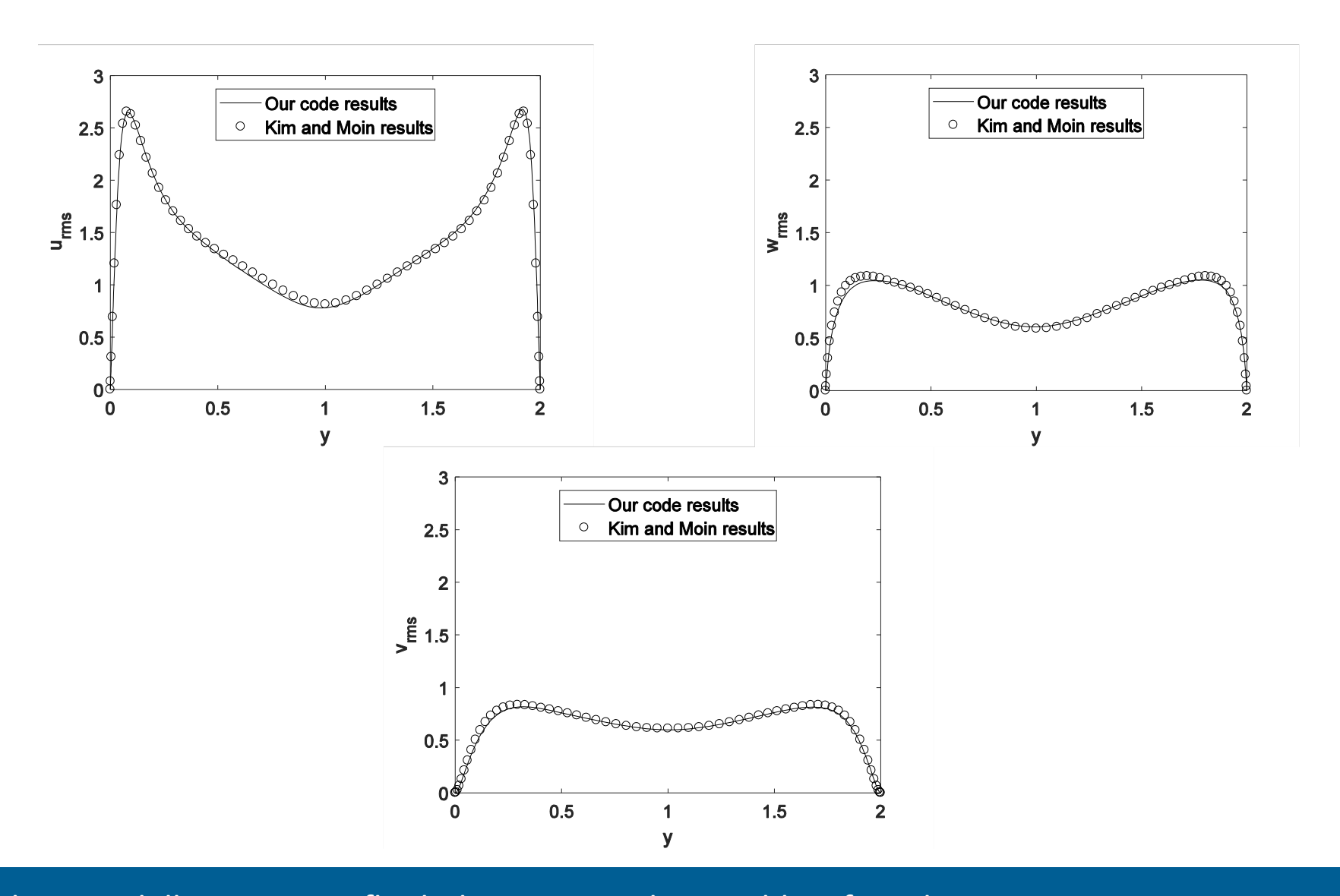


PROBLEMA MACROSCOPICO – Dominio di calcolo

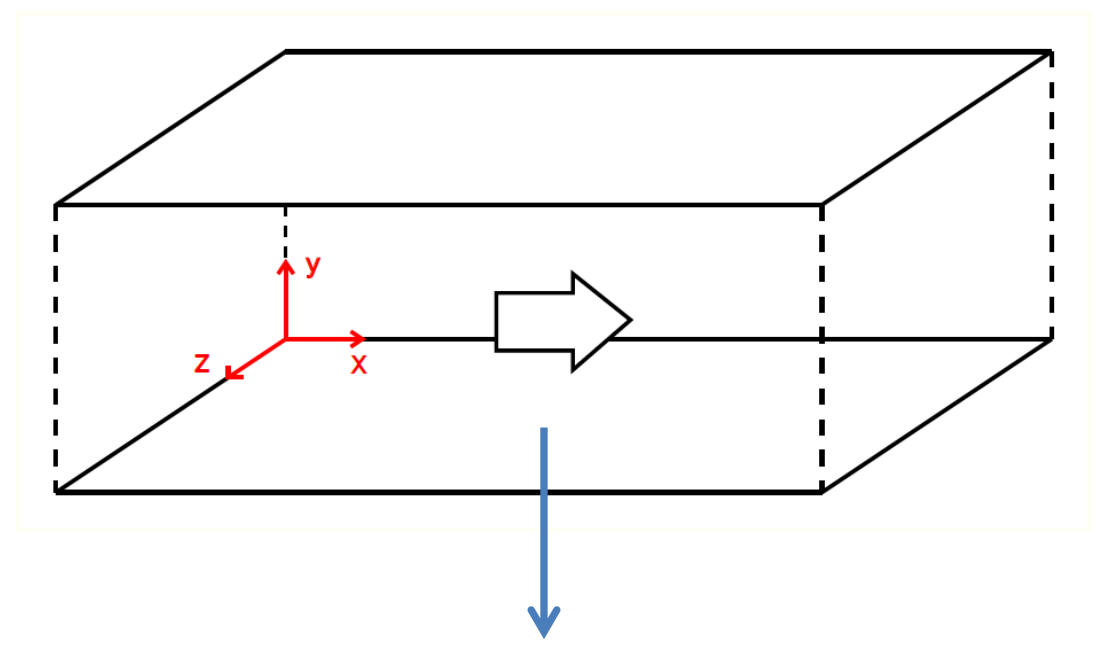
	Canale	Riferimento
Dominio [w.u.]	1106 x 352 x 552	2212 x 352 x 1104
$Re_{ au}$	180	180
Griglia	161 x 201 x 129	192 x 129 x 160
Y ⁺ min	0.0025	0.0050



PROBLEMA MACROSCOPICO – Validazione



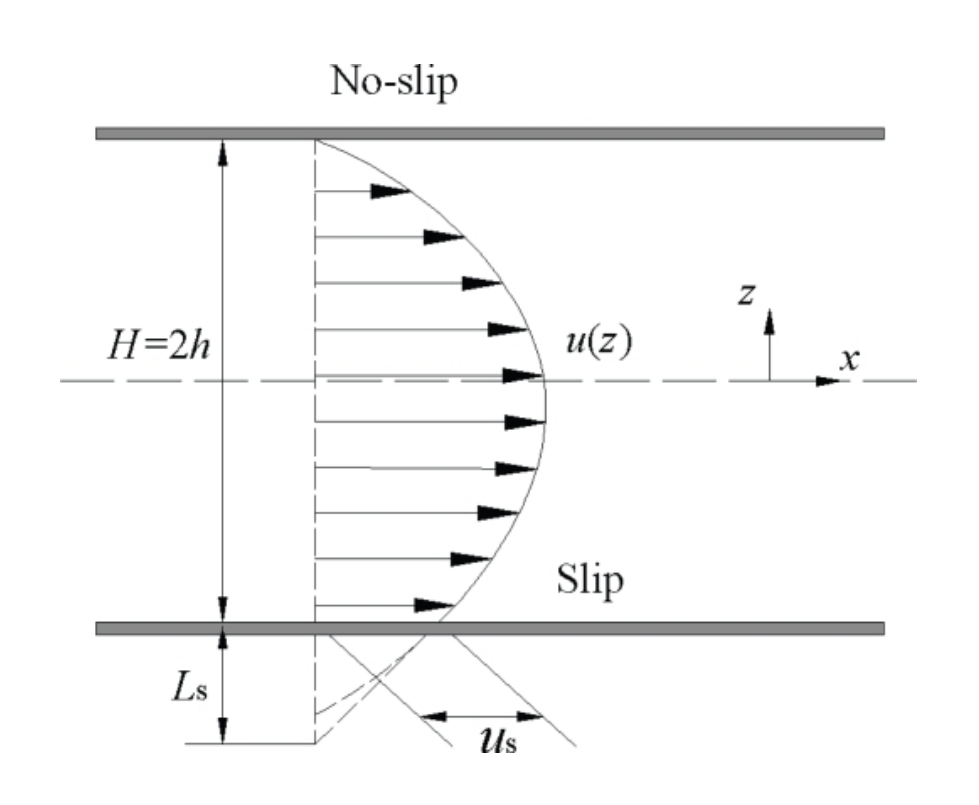
PROBLEMA MACROSCOPICO – Condizioni al contorno



Superficie con le Riblets

Condizioni al contorno di Navier In direzione x e z

PROBLEMA MACROSCOPICO – Condizioni al contorno



$$u_{\text{wall}} = kh_{||} \left. \frac{\partial u}{\partial y} \right|_{\text{wall}}$$

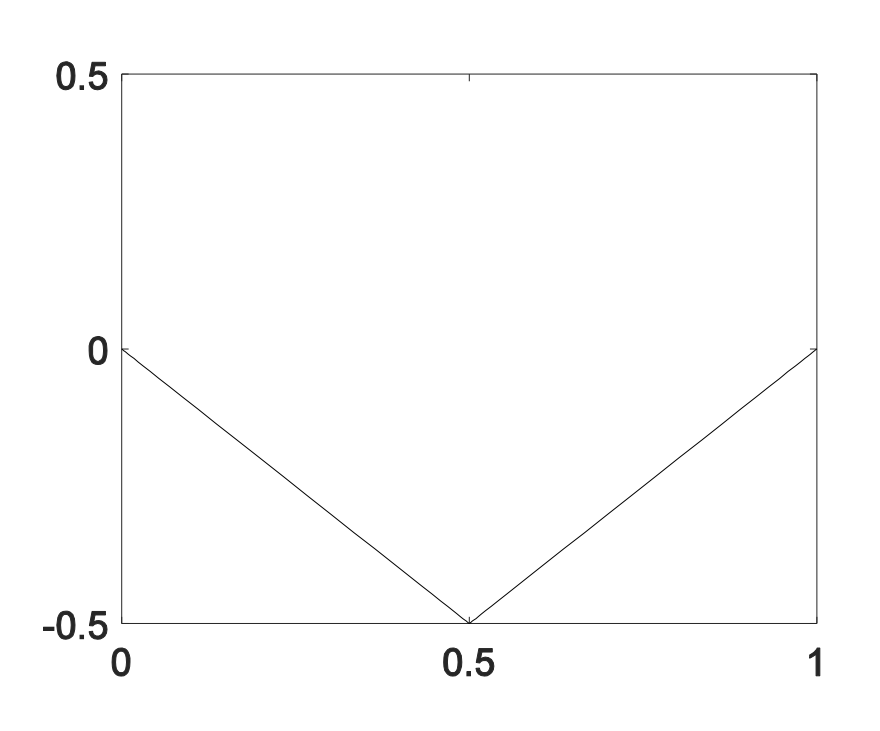
$$v_{wall} = 0$$

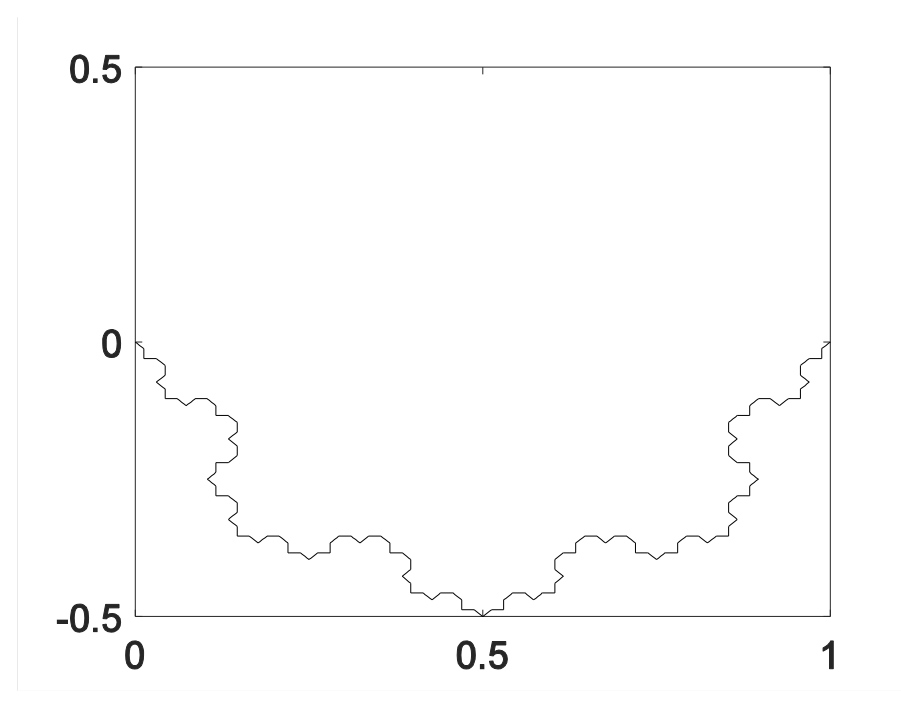
$$w_{\text{wall}} = kh_{\perp} \left. \frac{\partial w}{\partial y} \right|_{\text{wall}}$$

$$k = 0.05$$



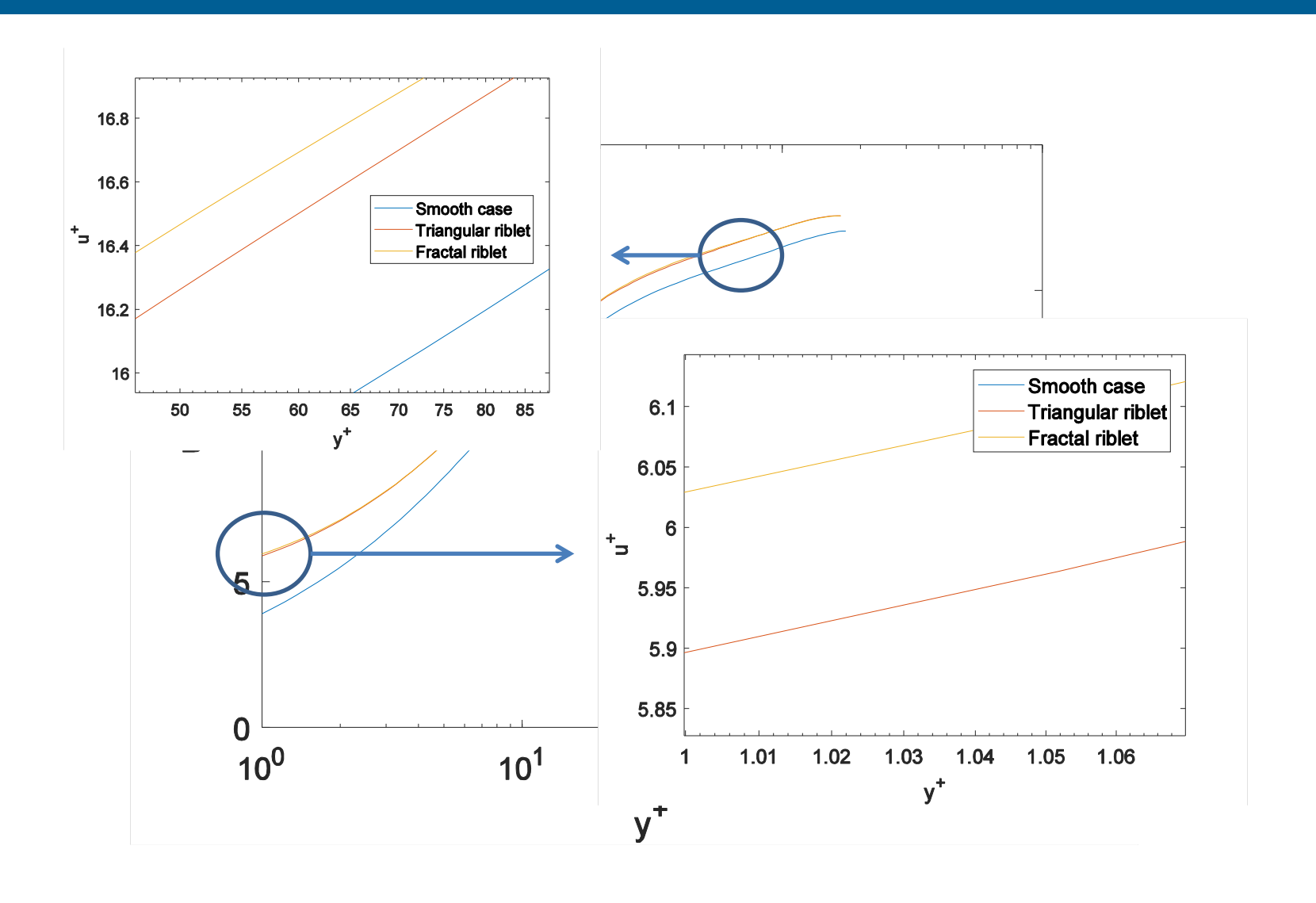
$$b^{+} = 10$$

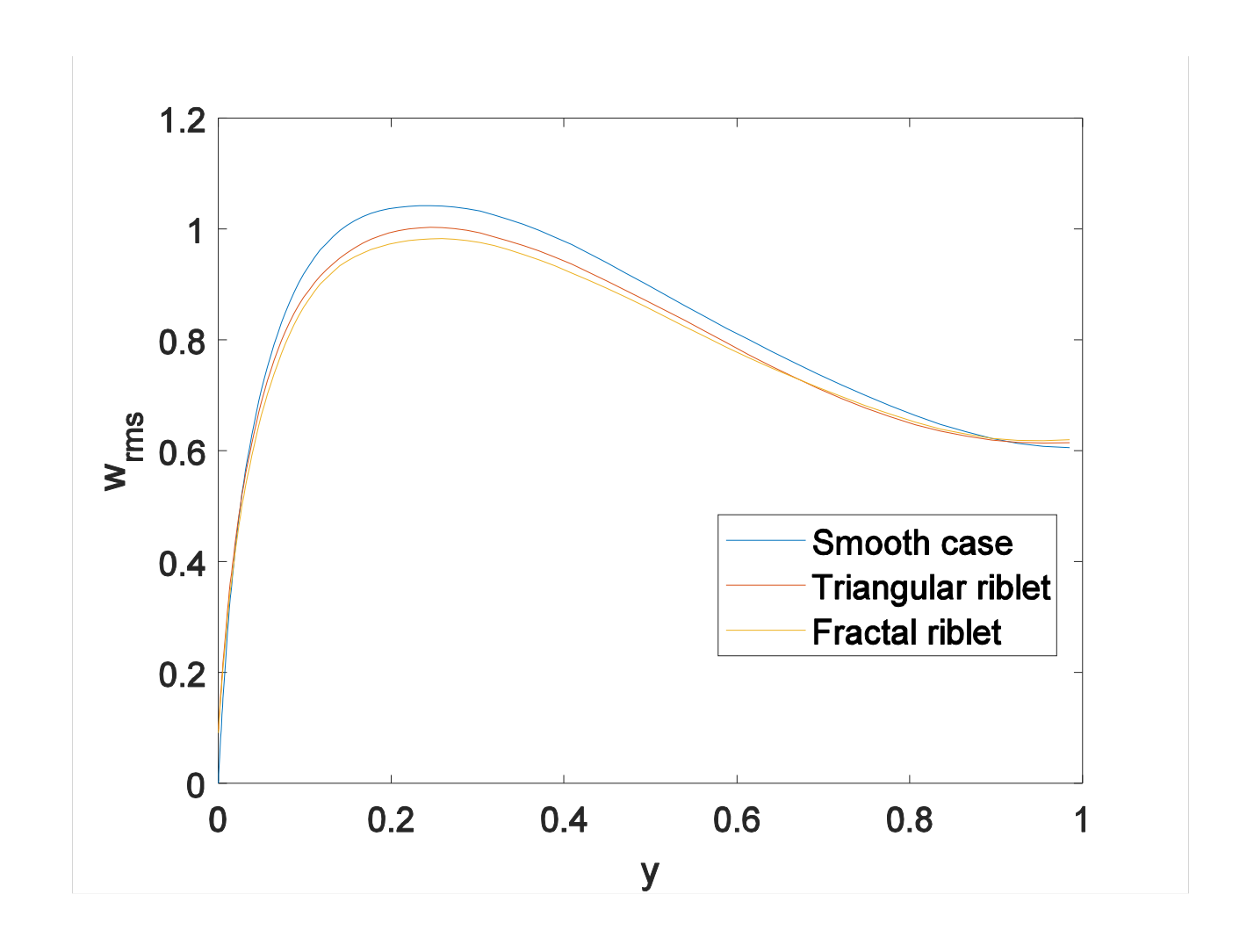




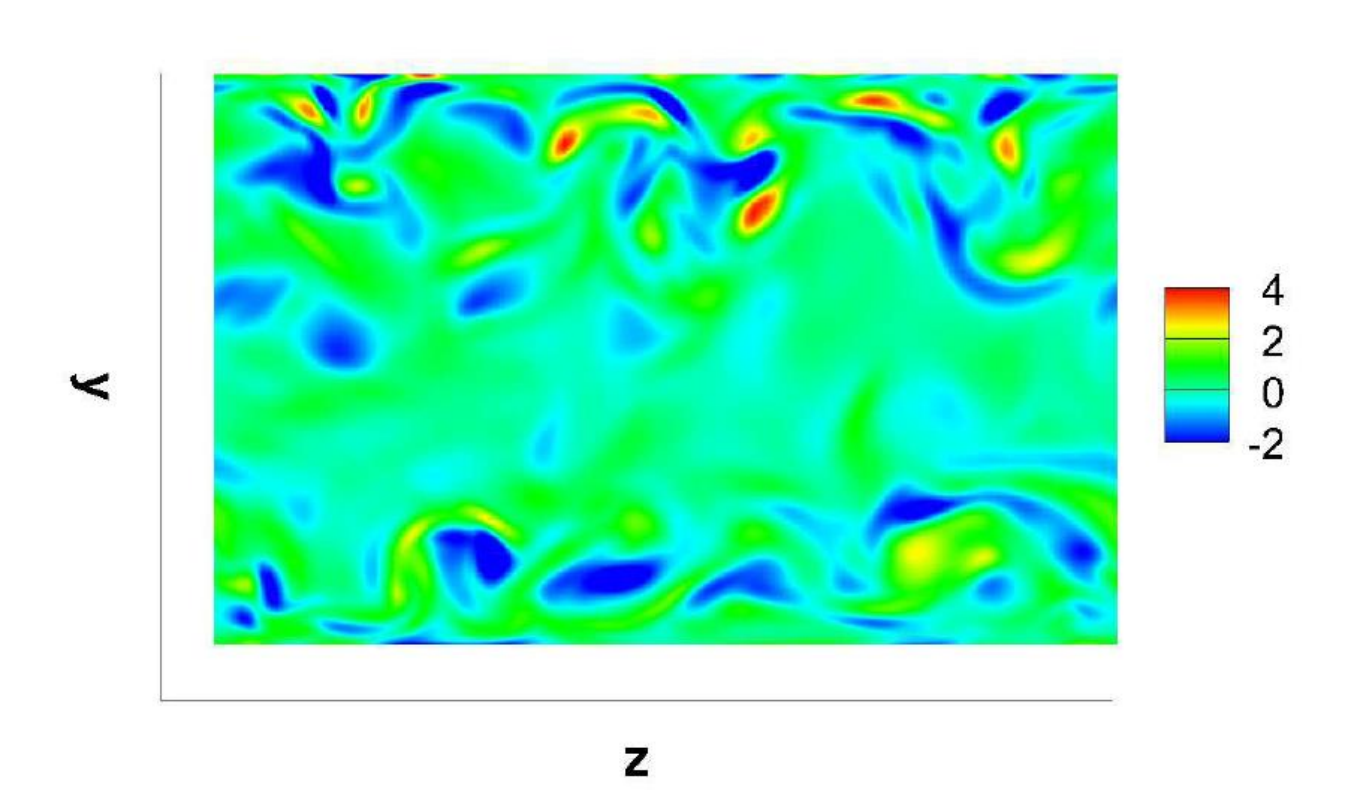
$$DR = \frac{\left| \frac{\overline{\partial p}}{\partial x} \right|_{0} - \left| \frac{\overline{\partial p}}{\partial x} \right|_{i}}{\left| \frac{\overline{\partial p}}{\partial x} \right|_{0}} \times 100$$

	Gradiente di pressione	DR
Senza riblet	0.00397	-
Con riblet semplici	0.00376	5.3 %
Con riblet frattali	0.0608	6.8 %





Vorticità lungo x



PROBLEMA MACROSCOPICO – Conclusioni

- Le altezze di protrusione sono in grado di valutare qualitativamente l'efficacia dei riblets.
- Le nano-strutture interne alle riblets influenzano la resistenza fluidodinamica.
- La frattalizzazione dei riblet fa aumentare di circa il 28 % la riduzione di resistenza fluidodinamica.

PROBLEMA MACROSCOPICO – Conclusioni

AIAA journal

Fractal riblets

Edoardo Alinovi, Mattia Gribaudo and Alessandro Bottaro DICCA, University of Genova, 1 via Montallegro, 16145 Genova, Italy

I. Introduction

In 1972 the NASA Langley Research Center begun a new skin-friction program in order to reduce the aircraft fuel consumption. After a lot of studies, in 1976, Dr. L. R. Ash had the idea that small flow-aligned fences might modify the near-wall structure of the turbulent boundary layer, thus reducing the skin-friction. The small fences were called "riblets", and a small research study was initiated at NASA Langley Resech Center (Bushnell [1]).

The idea that a longitudinally grooved surface could reduce the turbulent skin friction drag

Università degli Studi di Genova

Grazie per l'attenzione